

Fakultet za fizičku hemiju, Univerzitet u Beogradu  
Master akademske studije, šk. 2016-2017.

Metode i metodologija  
fizičkohemijskih istraživanja (MMFHI)

**Metode i metodologija u fizičkoj hemiji materijala-2. deo  
-polimeri, nanostrukture-**

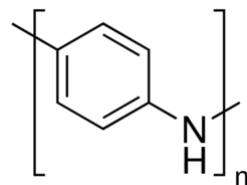
08. 12. 2016.

Prof. dr Gordana Ćirić-Marjanović

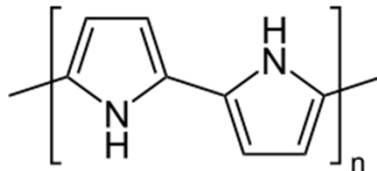
# Primeri procesa istraživanja, metoda i metodologija u oblasti fizičke hemije polimera

Definisanje/izbor naučnog problema kome će se posvetiti  
(na osnovu pregleda literature i uvida u postojeća znanja u oblasti, procene značaja, aktualnosti)

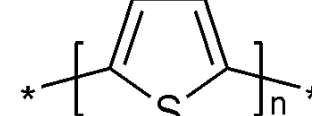
Medju polimerima, klasa **elektroprovodnih polimera (konjugovanih polimera)** je posebno interesantna:



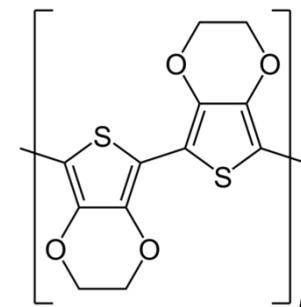
polianilin  
(PANI)



polipirol  
(PPy)



politiofen  
(PT)

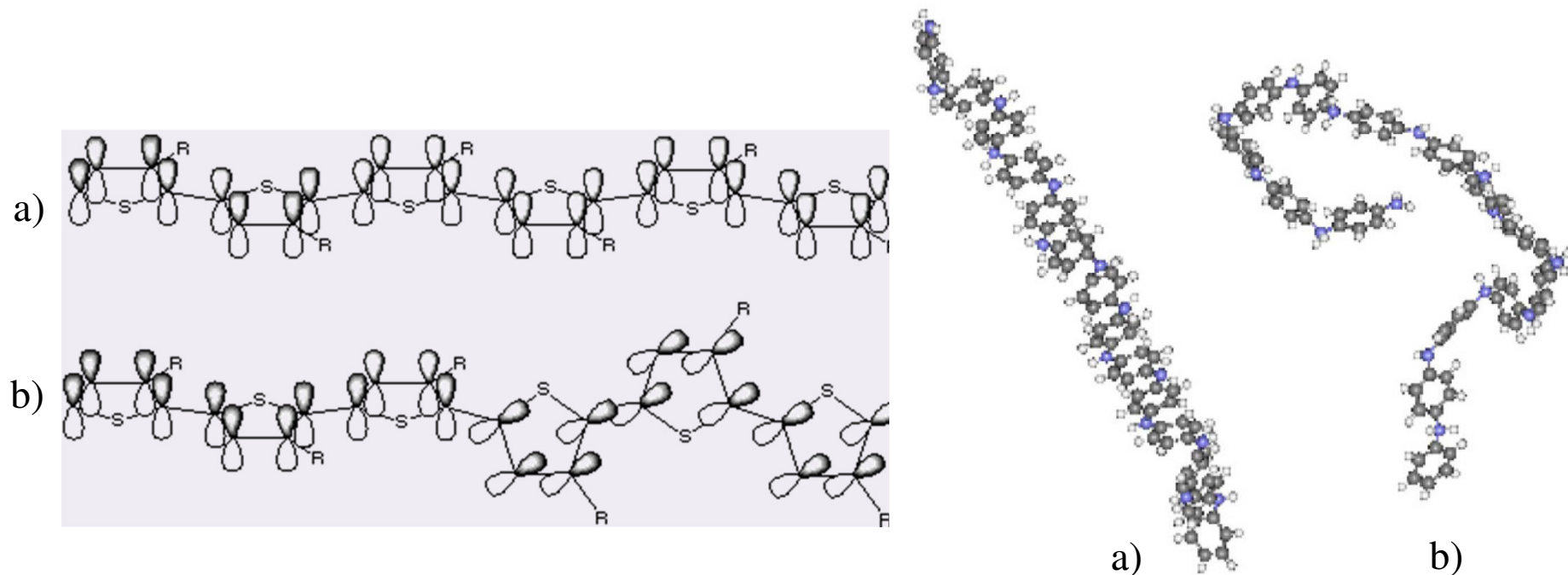


poly (3,4-ethylendioksitiofen)  
(PEDOT)

- konjugovani polimeri mogu podešavanjem strukture (stanja oksidovanosti i protonovanosti), tzv. dopiranjem, da se dovedu u oblik koji dobro provodi električnu struju (specifična provodljivost najčešće 1-100 S/sm). Osim elektroprovodljivosti, ovi polimeri pokazuju i niz drugi interesantnih svojstava- npr. elektrohromizam, paramagnetizam, redoks aktivnost, itd. koje omogućavaju njihovo korišćenje za različite primene.
- 2000 . godine [Nobel Prize in Chemistry](#) to [Alan J. Heeger](#), [Alan MacDiarmid](#), and [Hideki Shirakawa](#) "for the discovery and development of conductive polymers"

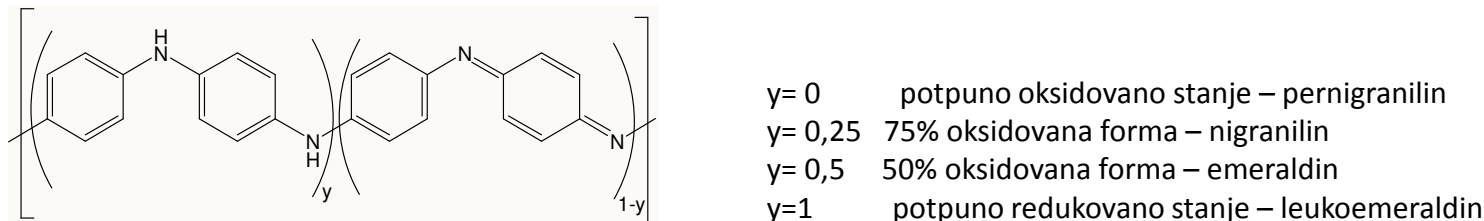
Provodni polimeri su specifični organski sistemi sa **produženom  $\pi$ -elektronskom konjugacijom** koja predstavlja uslov za njihovu **elektronsku provodljivost**, kao i za pojavu niza specifičnih fizičkohemijskih fenomena (električnih, magnetnih, optičkih). Konjugacija se ostvaruje **preklapanjem  $\pi$  orbitala** (kod politiofena npr. preklapanjem  $\pi$  orbitala aromatičnih prstenova, slika ispod) za koje je **potrebno da aromatični prstenovi budu koplanarni**.

Koplanarnost prstenova u polimernom lancu je jedan od uslova za dobru provodljivost konjugovanog polimera.

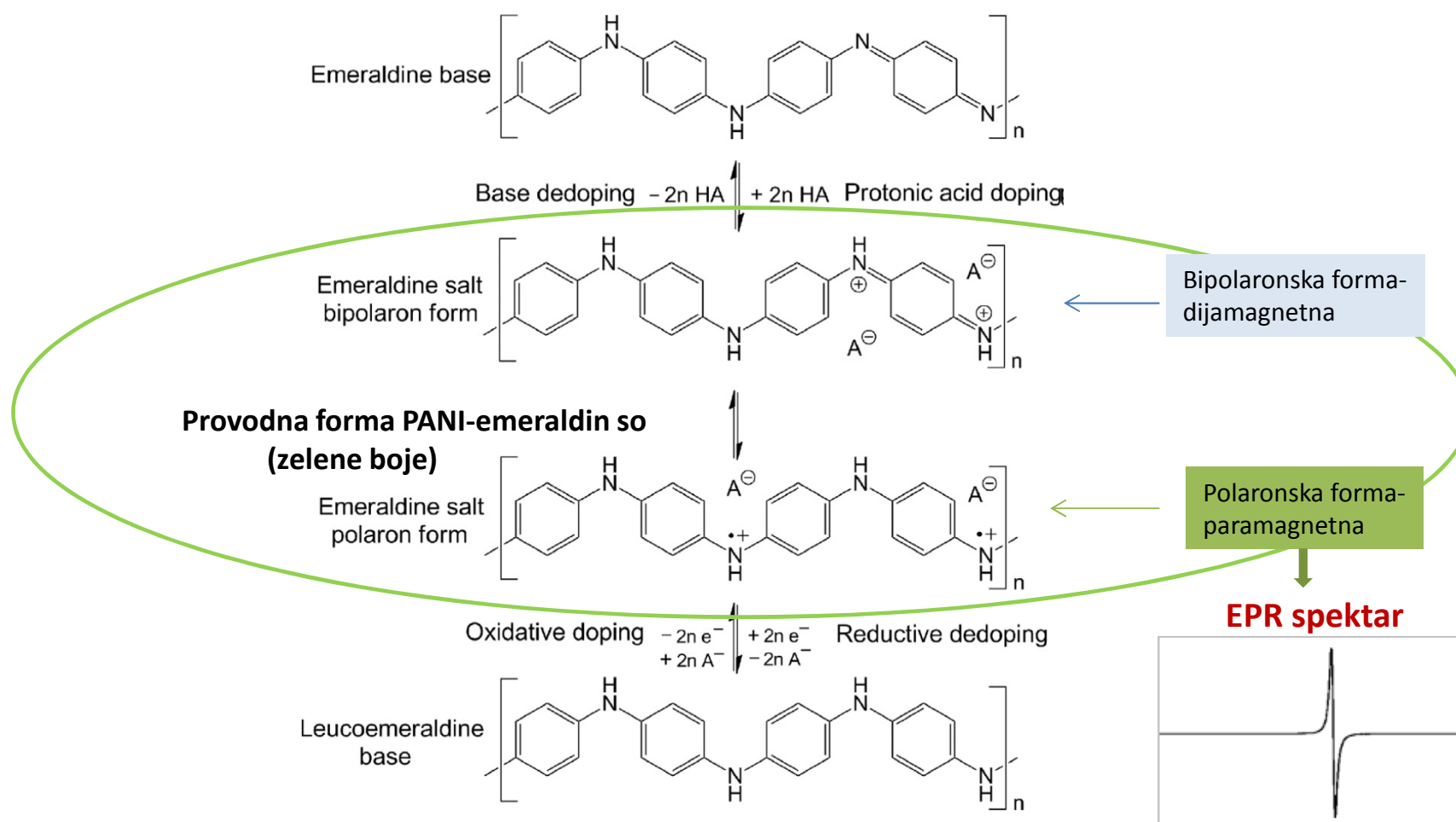


Konjugovane  $\pi$  orbitale kod supstituisanog politiofena (levo) i kod polianilina (desno) [J. Molec. Str. 701 (2004) 13-18:  
a) koplanarna forma - veća dužina konjugacije , b) uvrnuta (twisted) forma – smanjena dužina konjugacije.]

- Polianilin (PANI) je jedan od najproučavanih provodnih polimera.
  - PANI može da egzistira u velikom broju kiselinsko-baznih i redoks formi od kojih samo jedna, tzv. **emeraldin so**, pokazuje visoku elektroprovodljivost.



Opšta formula baznih formi PANI-sve forme su neprovodne



## Optički (UV-Vis) spektri provodnih polimera

Pri apsorpciji svetlosti u provodnom polimeru može doći do elektronskog prelaza iz valentne trake (VB) u provodnu traku (CB), to je  $\pi \rightarrow \pi^*$  prelaz, kao i do prelaza koji uključuju nivoe (polaronske, bipolaronske) u okviru energetskog procepa (band gap).

Rezultujući UV-Vis spektri su veoma osetljivi na oksidaciono stanje, stanje protonovanosti i konformaciju lanaca.

### UV-Vis spektri polianilina (PANI)

Svaka od tipičnih redoks/kiselinsko-baznih formi PANI ima svoj karakteristični **UV-Vis apsorpcioni spektar**.

Tako je UV-Vis spektroskopijom moguće dobiti informacije o **strukturi polimera**, predvideti da li je dobijeni PANI **elektroprovodan ili ne** (to je a korisno u slučajevima rastvora PANI- snimanjem UV-Vis spektara rastvora dobijamo indikaciju provodljivosti uzorka bez potrebe izolovanja PANI u formi praha), takodje UV-Vis daje informaciju i o **konformaciji** polimernog lanca (izdužen ili klupko)

#### Emeraldin baza

~320 nm  $\pi \rightarrow \pi^*$   
~620 nm intramolekulski transfer elektrona iz B (HOMO) na susedni Q (LUMO) ( $B \rightarrow Q$ , ekscitonski prelaz)

Pernigranilin so  
~320 nm  $\pi \rightarrow \pi^*$   
~700 nm

Pernigranilin baza  
~320 nm  $\pi \rightarrow \pi^*$   
~530 nm <sup>a</sup>Peierls gap

<sup>a</sup>Distorzija periodičnosti rešetke

1-D kristala (promene u dužini veze, promene torzionih uglova)

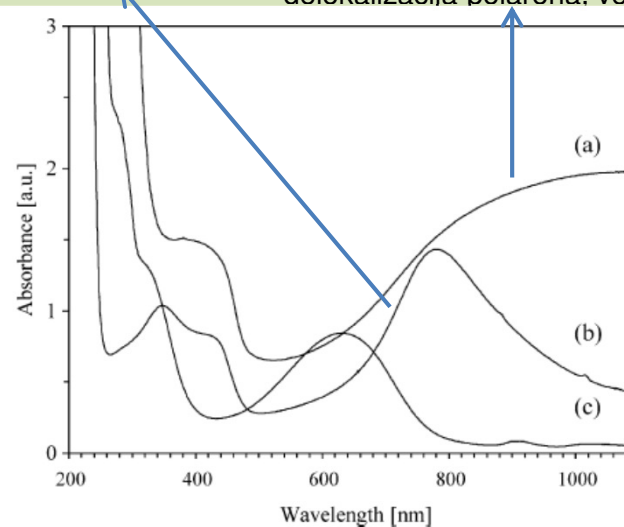
#### Emeraldin so

Kompaktno klupko (spektar b):  
klupko (spektar a)

~330 nm  $\pi \rightarrow \pi^*$   
~430 nm  $\pi \rightarrow$  polaron  
~750–900 nm polaron  $\rightarrow \pi^*$

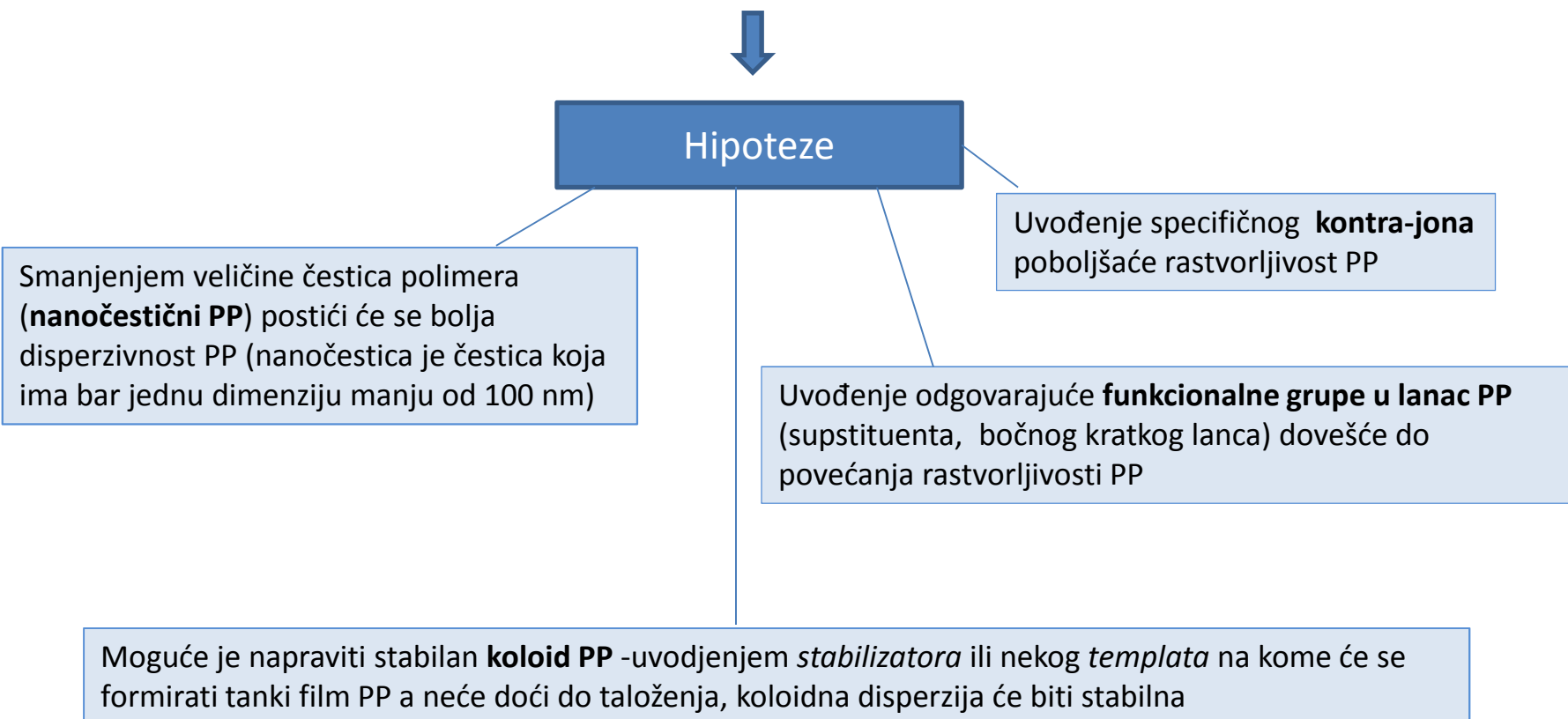
Izduženo

~330 nm  $\pi \rightarrow \pi^*$   
~430 nm  $\pi \rightarrow$  polaron  
“free-carrier tail” u NIR oblasti ( $>800$  nm,  $\lambda_{\max} = 1500-2500$  nm)- delokalizacija polarona, veća provodljivost



PROBLEM/NEDOSTATAK kod provodnih polimera (**PP**) je njihova generalno slaba rastvorljivost, posebno provodne forme, u uobičajenim rastvaračima- to ograničava mogućnost procesiranja i primene PP

- KAKO PREVAZIĆI TAJ NEDOSTATAK, a pri tome zadržati dobru električnu provodljivost ?

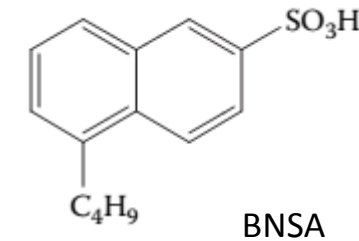
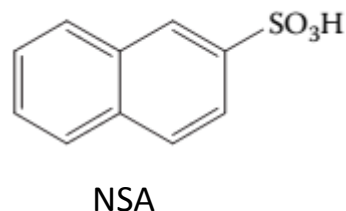
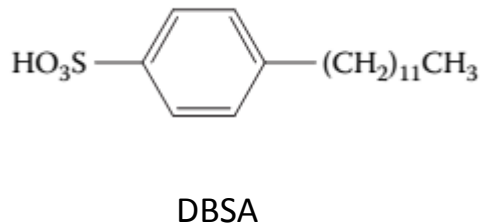


**Uvođenjem specifičnog kontra-jona, dopant-anjona (npr. surfaktantskih karakteristika) poboljšaće se rastvorljivost provodnog polimera**

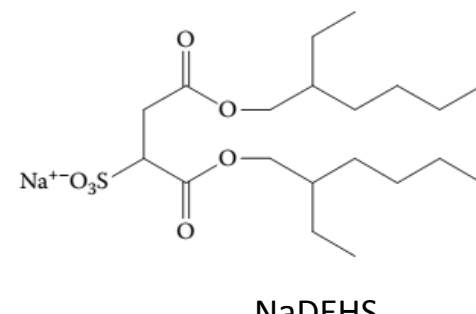
Hipoteza je potvrđena na većem broju primera:

-**dodecilbenzensulfonat** kao dopant anjon iz dodecilbenzensulfonske kiseline, DBSA, sa surfaktantskim karakteristikama, dovodi do dobre rastvorljivosti PPy u nekim organskim rastvaračima (m-krezolu, hloroformu, dihlorometanu); **film PPy** izliven iz rastvora hloroforma pokazuje provodljivost 5 S/cm; pretpostavlja se da je *povećanje rastvorljivosti izazvano dugolančnom dodecil grupom u DBSA koja smanjuje medjusobne interakcije PPy lanaca i, sa druge strane, pomaže solvataciju PPy lanaca organskim rastvaračima* (Synth. Met. 74 (1995) 103)

-dobra rastvorljivost PPy u *m*-krezolu, CHCl<sub>3</sub>, DMSO i NMP je postignuta i sa drugim kontra-jonima, anjonima sulfonskih kiselina, **β-naftalensulfonske kiseline (NSA)**, **5-butilnaftalensulfonske kiseline (BNSA)**, ... surfaktantskih svojstava.



-prvi put je postignuta dobra rastvorljivost PPy *u alkoholu* korišćenjem **Na soli di (2-etylheksil) sulfosukcinata (NaDEHS, AOT)** kao dopanta; on sadrži nepolarne alkil lance i *polarne kiseonične centre koji najverovatnije formiraju vodonične veze sa molekulima alkohola*, olakšavajući rastvaranje PPy (Synth. Met. 119 (2001) 107).



Napraviti stabilan **koloid** PP -uvodjenjem *stabilizatora* ili *templata* na kome će se formirati tanki film PP ali neće doći do taloženja, dobiće se stabilna koloidna disperzija

Hipoteza je potvrđena na većem broju primera:

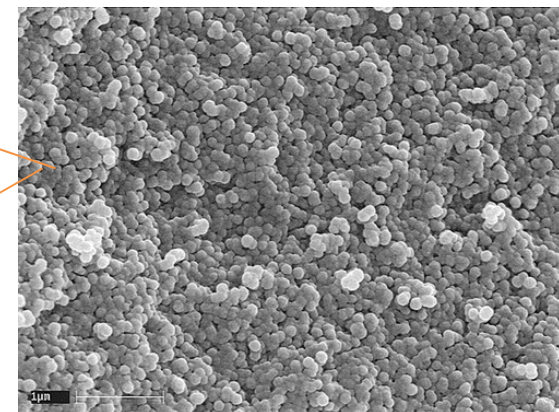
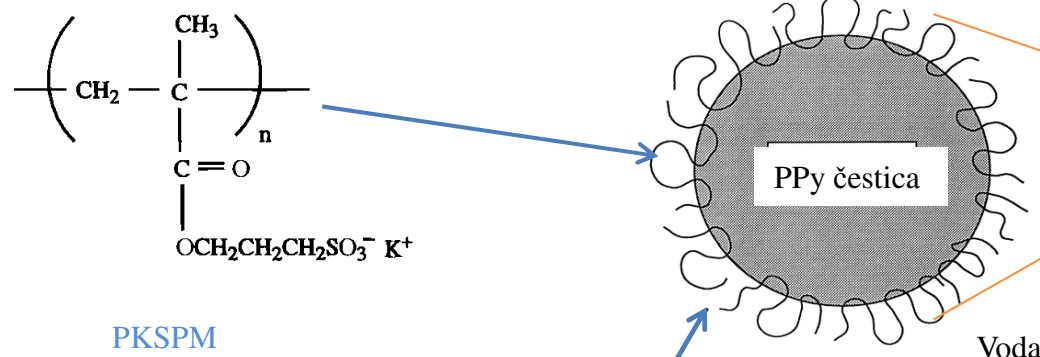
Oksidacija Py sa  $\text{FeCl}_3$  u prisustvu vodorastvornih **sternih stabilizatora**:

- metilceluloze
  - polivinilalkohola (PVA)
  - poli(etilenoksida) (PEO)
  - poli(vinilpiridina) (PVP)
  - katjonskih i anjonskih polielektrolita
- J. Chem. Soc., Chem. Commun.* 1987, 288.
- *Langmuir* 1996, 12: 1784.

vodila je dobijanju **stabilnih koloida polipirola (PPy)**.

-Pokazalo se da veličina koloidnih čestica PPy zavisi od molarne mase i prirode stabilizatora, koncentracije i tipa oksidacionog sredstva.

-Zbog izolatorske prirode stabilizatora električna provodljivost ovako dobijenih PPy koloida je manja u odnosu na standardno sintetisan, istaloženi PPy.

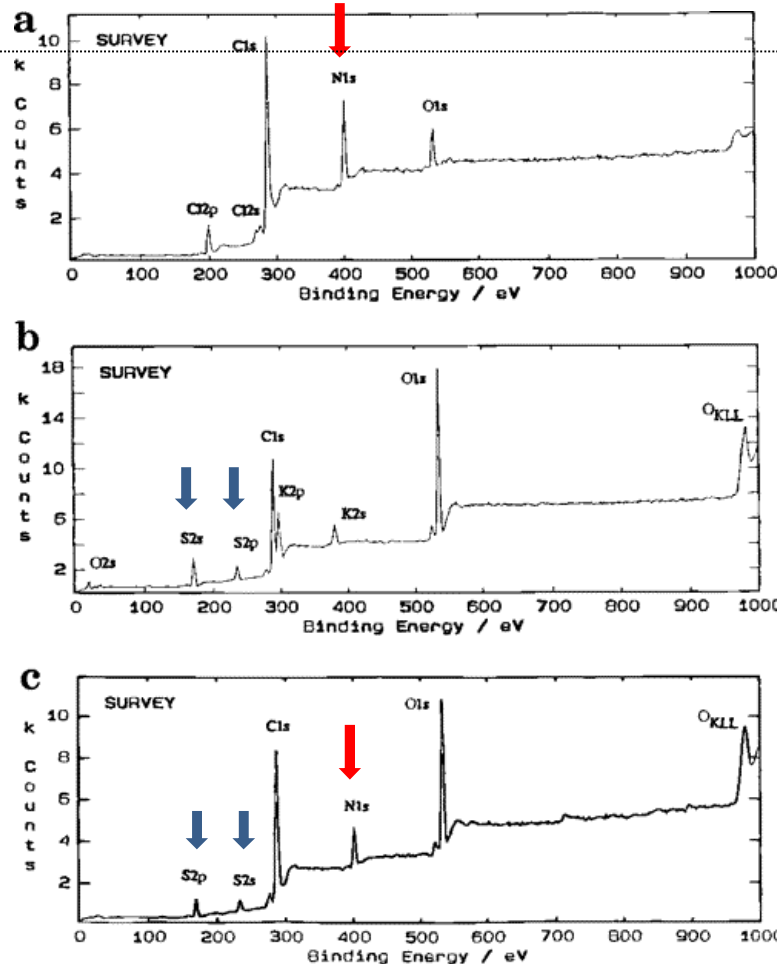


**Skenirajuća elektronska mikroskopija (SEM)**  
PKSPM-stabilisanih čestica PPy  
[Slika preuzeta/adaptirana sa dozvolom iz *Langmuir* 12 (1996) 1784, Copyright 1996, American Chemical Society].

Osim određivanja oblika čestica, SEM omogućava određivanje **dimenzija čestica** (ovde d ~100–150 nm) i **raspodele veličine čestica**.

-Površinski sastav sterno-stabilisane koloidne čestice PPy određen je metodom **rendgenskom fotoelektronskom spektroskopijom (X-ray photoelectron spectroscopy, XPS)** [Langmuir 12 (1996) 1784]. Atomi sumpora iz polielektrolita-stabilizatora, poli(kalijum 3-sulfopropil metakrilata), PKSPM, i atomi azota iz PPy su korišćeni kao element-markeri svake komponente. **Atomski odnos S/N** na površini koloidne čestice određen pomoću XPS bio je znatno veći od odgovarajućeg ‘makroskopskog’ S/N atomskog odnosa izračunatog iz klasične elementarne mikroanalize (‘bulk’ elementarni sastav). To je bio dokaz da se na površini čestice provodnog polimera PPy nalazi sloj polimernog stabilizatora.

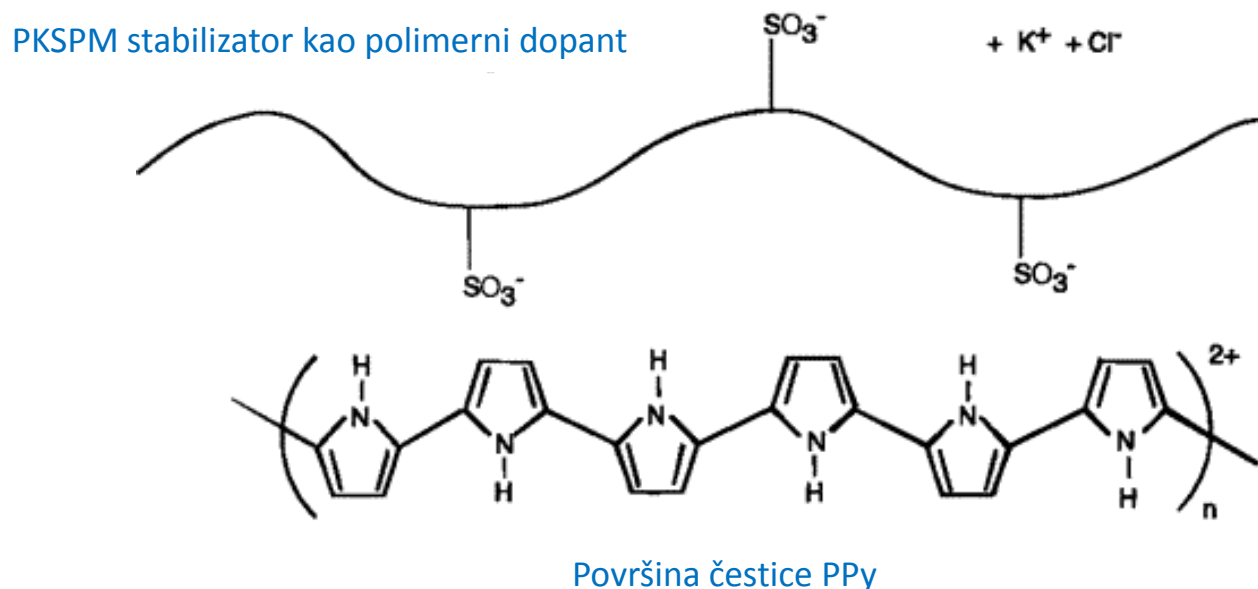
- XPS je jedna od najpoznatijih metoda za **karakterizaciju površine materijala, sa analizu sastava površina** (polimera, ugljeničnih i drugih materijala).



**XPS spektri** za (a) PPy bulk-praškasti uzorak, (b) PKSPM stabilizator, i (c) PKSPM-stabilisan PPy. Primetiti da u spektru a) nema pika sumpora, a u spektru b nema pika azota [Slika preuzeta/adaptirana sa dozvolom iz Langmuir 12 (1996)1784, Copyright 1996, American Chemical Society].

**Hipoteza:** ako sulfonatne grupe PKSPM imaju ulogu dopant anjona za polikatjonske lance PPy, onda se može očekivati značajno smanjenje površinske koncentracije kalijumovih jona. Analizom K 2p core-line XPS spektara ova hipoteza je potvrđena.

Kalijumov 2p pik koji se javlja na 292.9 eV u spektru stabilizatora PKSPM je potpuno nestao u odgovarajućem spektru PPy koloida. Zaključeno je da XPS podaci daju jaku evidenciju da PKSPM stabilizator deluje kao **polimerni dopant** na površini PPy čestica, uz istovremeno istiskivanje (izbacivanje)  $\text{K}^+$  i  $\text{Cl}^-$  jona ( $\text{Cl}^-$  su konkurenčni anjoni, poreklom iz HCl u kojoj je sintetisan PPy). Tako je zaključeno da postoji direktna elektrostatička interakcija (Kulonova) između stabilizatora i površine čestice, pre nego fizička adsorpcija (slika ispod).



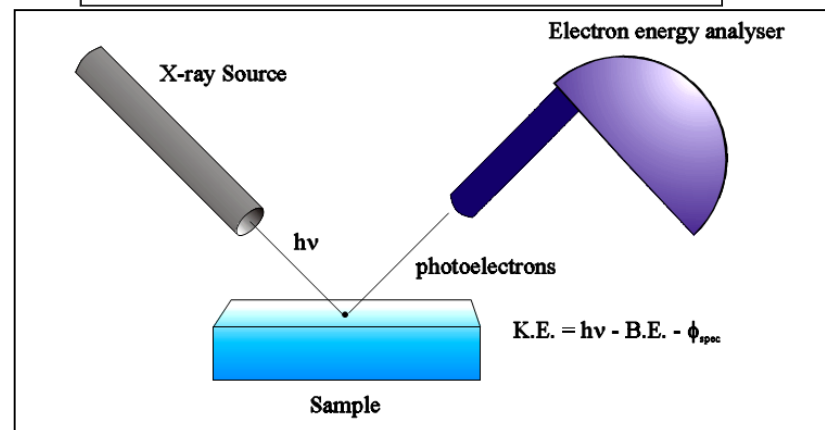
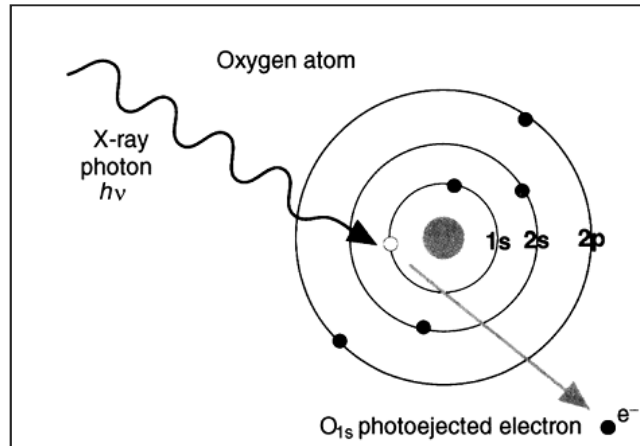
Shematska ilustracija površinske interakcije između PKSPM stabilizatora i čestica polipirola (PPy). Polielektrolitski stabilizator deluje kao *polimerni dopant anjon* za katjonski lanac PPy, zbog čega dolazi do istiskivanja (expulsion)  $\text{K}^+$  jona i  $\text{Cl}^-$  kontra-jona [Slika preuzeta/adaptirana sa dozvolom iz Langmuir 12 (1996)1784, Copyright 1996, American Chemical Society].

## Osnove rendgenske fotoelektronske spektroskopije (XPS)

(drugi naziv ESCA-Electron Spectroscopy for Chemical Analysis)

-Fotoelektrični efekat (Einstein, Nobelova nagrada 1921.)

- Fotoemeisija kao analitičko sredstvo (Kai Siegbahn, Nobelova nagrada 1981.)



XPS spektar: intenzitet (broj detektovanih) fotoelektrona prema  $E_B$  ili  $E_K$

XPS je metoda površinske hemijske analize koja omogućava

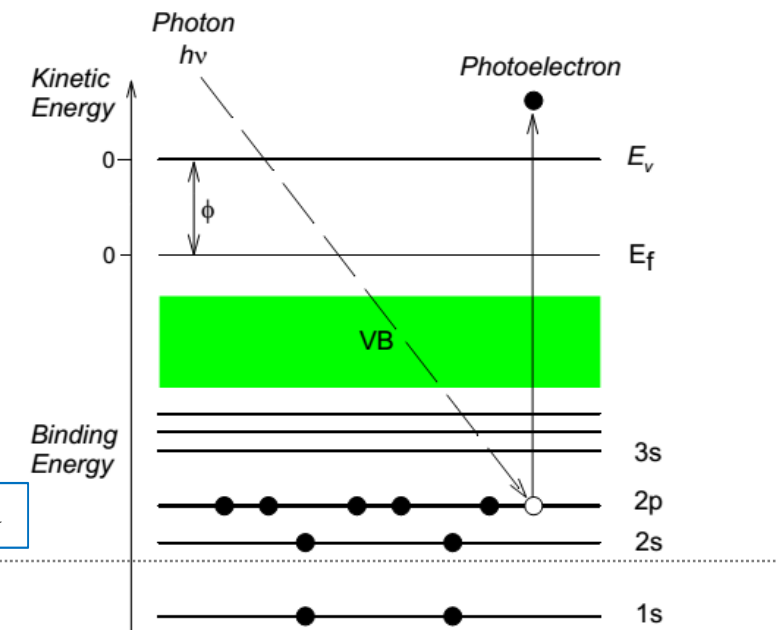
-Identifikaciju elemenata i određivanje hemijskog stanja elemenata na površini

-Relativni sastav elemenata u površinskom sloju materijala (debljine 0,5-10 nm) jer se fotoelektroni emituju sa površinskih slojeva do dubine 10 nm

$$E_k = h\nu - (E_B + \phi)$$

Diagram illustrating the energy levels involved in XPS. The energy levels are:

- Energija upadnih fotona (X zračenja)
- Kinetička energija izbačenog fotoelektrona
- Energija vezivanja elektrona
- Izlazni rad elektrona



Smanjenjem veličine čestica polimera (**nanočestični PP**) postići će se bolja disperzivnost PP

Nanočestica je čestica koja ima bar jednu dimenziju manju od 100 nm:

"0-D"- čvrste nanosfere

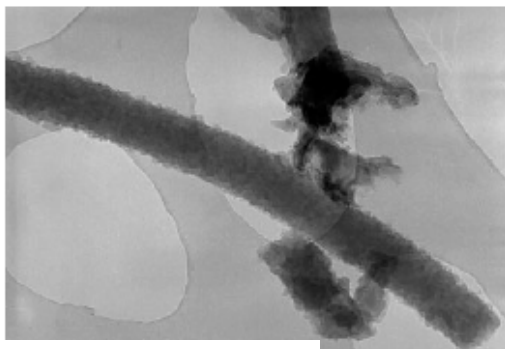
1-D nanostrukture: nanotube (nanotubes), nanoštapići (nanorods), nanovlakna (nanofibers)...

2-D nanostrukture: nanolistovi (nanosheets), nanotrake (nanobelts)

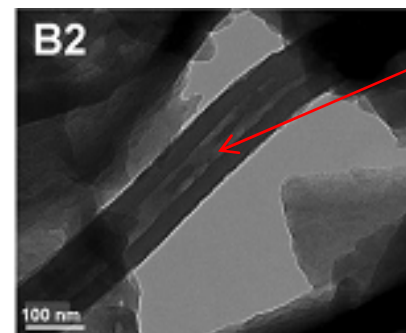
3-D nanostrukture: šuplje nanosfere, dendritske nanočestice, poledarske nanočestice, oblika cveta, zvezde itd.

Nanoštapići, nanovlakna i nanotube su najčešće cilindrične nanočestice čiji je prečnik  $<100$  nm.

Nanotube imaju unutrašnju šupljinu koju nanoštapići i nanovlakna nemaju. Nanoštapić je kraći i prav, dok je nanovlakno generalno iskrivljeno i duže, može imati dužinu i nekoliko mikrometara.



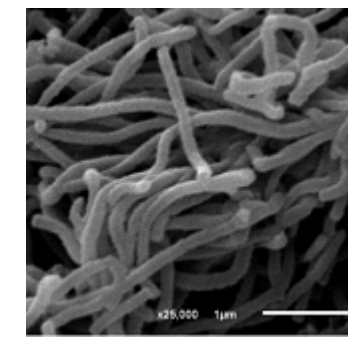
PANI nanoštapić



PANI nanotuba

Unutrašnji kanal  
nanotube

TEM



PANI nanovlakna

SEM

Transmisiona skenirajuća mikroskopija (TEM): oblik i veličina čestica, ima prednost u odnosu na skenirajuću elektronsku mikroskopiju (SEM) jer se može detektovati šupljina (svetliji kanal na slici b) u čestici.

Postoji veliki broj metoda i postupaka za dobijanje nanočestica PP

- metode sa templatom
- metode bez templata

**Templat** je supstancija pogodne strukture, teksturalnih (oblik, veličina pora..) i drugih svojstava, čijim se dodatkom sistemu diktira/usmerava rast (nano)čestica (npr. polimera) i podešava njihov oblik i veličina, a moguće i struktura.

### Metode za dobijanje **PANI nanovlakana**

1. **Fizičke metode:** electrospinning, ultrazvučni tretman

2. **Hemejska oksidativna polimerizacija**

#### 2.1. metode sa templatom

2.1.1. tvrdi templati: nanoporozni tvrdi templati, nanostruktorno seme kao templat (seeding metod)

2.1.2. meki templati: oligomerni (npr. dimeri i oligomeri anilina), polimerni, surfaktanti (natrijum dodecilsulfat), amfifilne kiseline (azobenzensulfonska kis.)

#### 2.2. metode bez templata

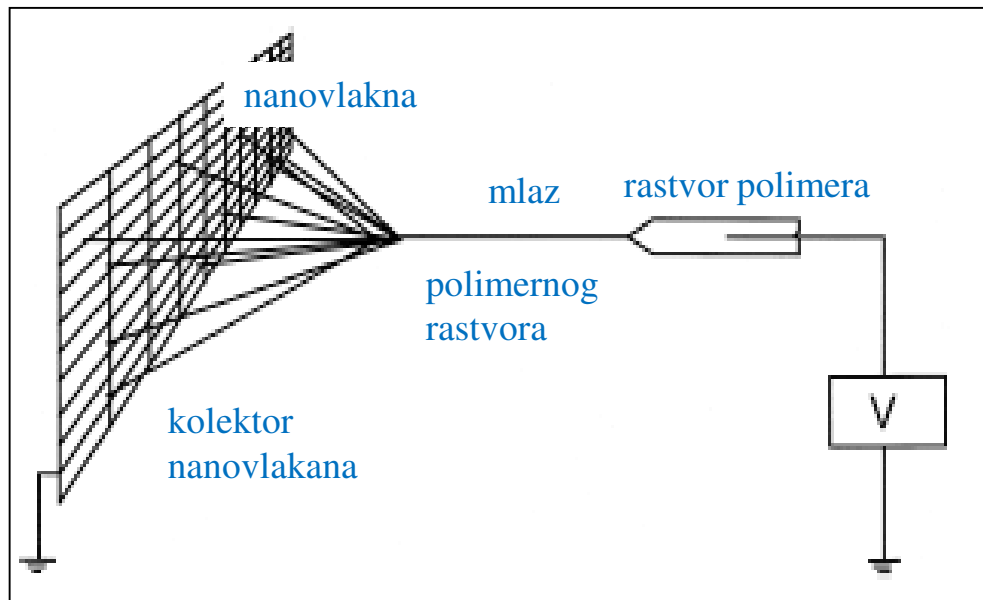
2.2.1. metod bez mućanja- bez mešanja (not shaken-not-stirred); mešanje vodi agregaciji PANI čestica; sporio ukapavanje rastvora oksidacionog sredstva u rastvor anilina

2.2.2. polimerizacija na granici vodene i organske faze (aqueous/organic interfacial polymerization)

2.2.3. brzo mešanje; brza potrošnja reaktanata (anilina i APSA) u toku primarnog rasta nanovlakana, sav oksidant potrošen je u toku stvaranja nanovlakana, čime je sprečen sekundarni rast PANI.

3. **Elektrohemejska oksidativna polimerizacija** (ciklovoltametrijski: anilin, HCl, u prisustvu etanola; ili templat-elektrode od anodnog aluminijum oksida AAO)

**1. Electrospinning:** elektrostatički metod koji koristi električno polje visokog napona da bi se formirala čvrsta polimerna vlakna iz struje polimernog fluida (npr. rastvora PANI ili rastopa blende PANI i nekog drugog topljivog polimera, npr. poli(etilenoksida)], koji se dostavlja preko kapilare prečnika  $\sim 1$  mm. Pozitivni potencijal primenjuje se na rastvor ili blendu polimera preko bakarne žice koja je uronjena u pipetu sa rastvorom. Nanovlakna se mogu dobiti direktno na željenom supstratu (npr. bakarna ploča koja služi kao katoda). Kada se dostigne kritična vrednost napona, pozitivno nanelektrisanje polimera u kapi prevaziđa površinski napon i nastaje mlaz polimernog rastvora koji putuje veoma kratko ka katodi pri čemu rastvarač isparava. Potencijalna razlika  $\sim 25$  kV, razmak između katode i anode 5-30 cm.



Shematski prikaz elektrospinning metode za dobijanje nanovlakana polimera.

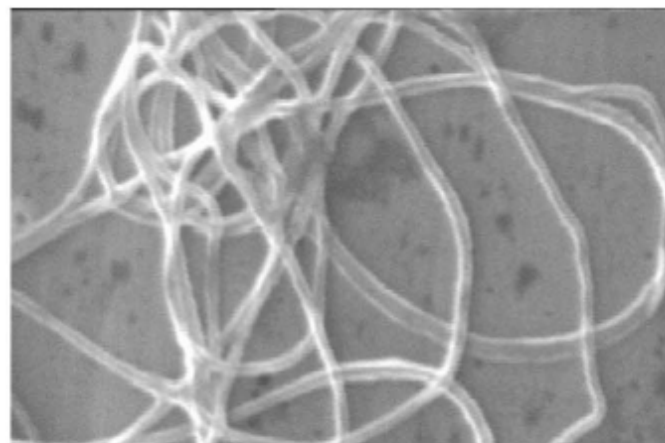


Figure 3. 100% polyaniline fiber with an average diameter of 139 nm.

Norris et al. Synth. Met. 114 (2000) 109.

MacDiarmid et al. Synth. Met. 119 (2001) 27

## **2. Hemijska oksidativna polimerizacija**

### **2.1.1. Tvrdi templati:**

#### *nanoporzni tvrdi templati:*

- heksagonalni kanali širine 3 nm alumosilikata MCM-41(npr. najpre adsorpcija pare anilina na dehidratisanom MCM-41, a zatim reakcija sa oksidacionim sredstvom, peroksidisulfatom)
- anodni aluminijum oksid (AAO)
- polikarbonatne membrane

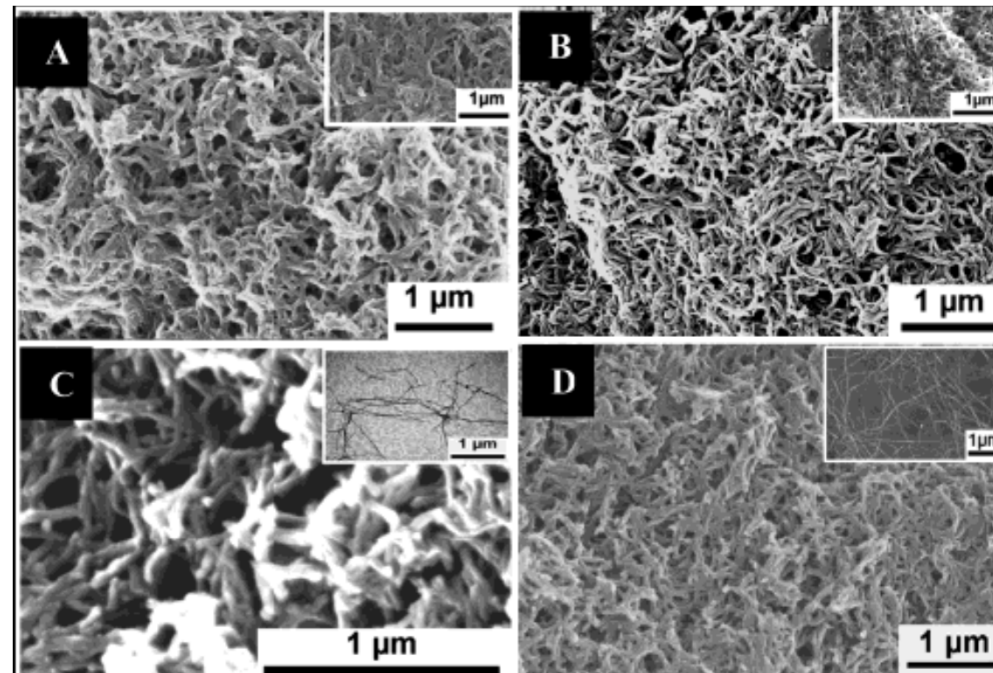
Nedostaci metoda sa tvrdim templatom su relativno zahtevni post-sintetički procesi uklanjanja templata, u toku kojih može doći do destrukcije nanostruktura, i formiranje nepoželjnih agregata nakon uklanjanja templata.

#### *nanostruktorno seme:*

- dodaje se vrlo mala količina (1 %) nanovlakana (organskih, neorganskih) ili ugljeničnih nanotuba (SWNT) u reakcionu smešu pri uobičajenoj hem. oksidativnoj polimerizaciji anilina.

## Nanostrukturno seme kao templat kod dobijanja PANI nanovlakna (*nanostructured seed template* method)

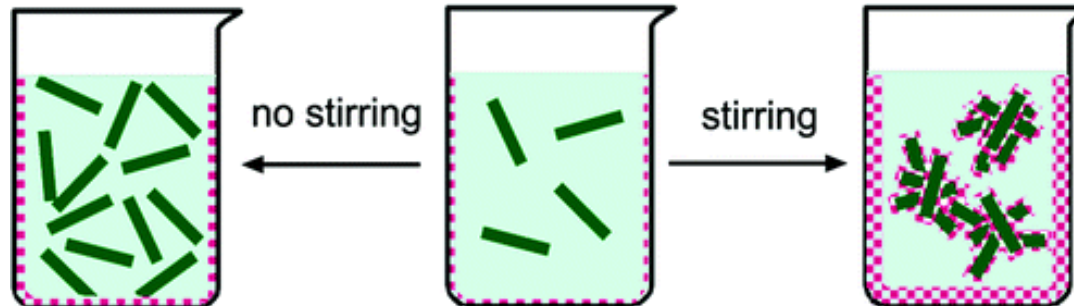
PANI nanovlakna



SEM images of emeraldine-HCl nanofibers synthesized by seeding the reaction using the following: (A) 1.5 mg of emeraldine-HCl nanofibers (SEM image inset), (B) 1.6 mg of HiPco **SWNT** (SEM image inset), (C) 1.0 mg of the **hexapeptide** AcPHF6 (TEM image inset), and (D) 4 mg of **V<sub>2</sub>O<sub>5</sub>** nanofibers (SEM image inset). Zhang, X.; Goux, W. J.; Manohar, S. K. *J Am Chem Soc* 2004, 126, 4502.

Pretpostavljeno je da se **polimerizacija** najpre dešava na površini **nanofibrilarnog** **templata** čija se morfologija preslikava pri rastu polimernih PANI lanaca.

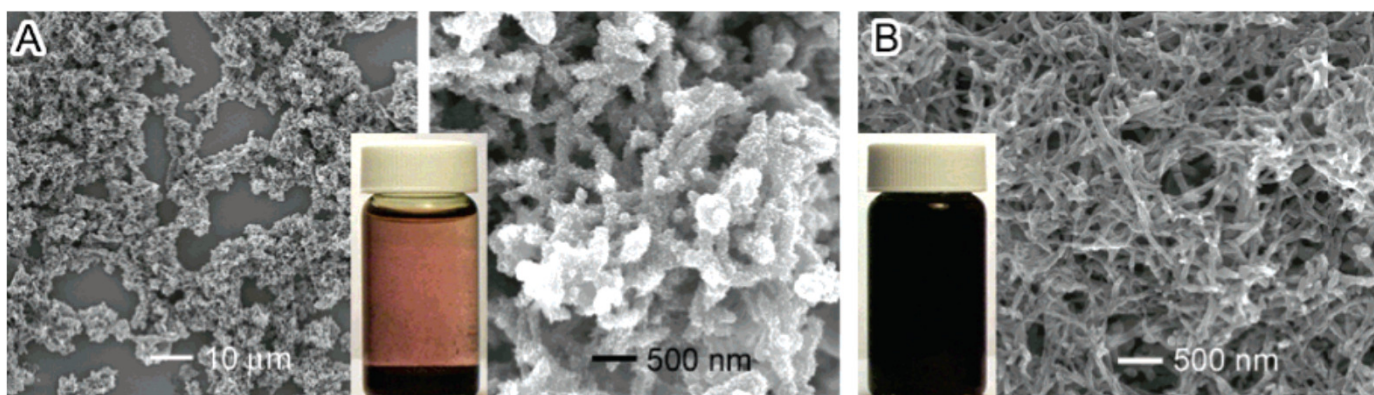
## ‘Not shaken-not-stirred’ method dobijanja PANI nanovlakana



Shematska ilustracija formiranja i agregacije PANI čestica.. Zeleno-PANI vlakna, ljubičasta- PANi čestice nastale heterogenom nukleacijom [Li, D.; Kaner, R. B. J. Am. Chem. Soc. 2006, 128, 968].

Smatra se da PANI se tanka nanovlakna PANI prirodno formiraju u toku reakcije hemijske oksidativne polimerizacije anilina u vodenom rastvoru (jako kiselom), čim počne polimerizacija. Pošto su nanovlakna u kontaktu sa anilinom i APS, podložna su sekundarnom rastu. Hipoteza je bila da ako se sekundarni rast (aglomeracija) spreči na neki način, prinos PANI nanovlakana u krajnjem produktu biće značajno veći.

Prilikom mešanja, javlja se **heterogena nukleacija** na površinama čestica uključujući tačke kontakta čestica. Nukleusi u tačkama sudara imaju funkciju lepka na nanoskali koji povezuje čestice zajedno, što prouzrokuje aggregaciju čestica. Dalji rast nukleusa i formiranje novih heteronukleusa na njihovim površinama pojačava aggregaciju. Suprotno, **u odsustvu mešanja, heterogena nukleacija je sprečena i nanovlakna se kontinualno proizvode i dobro su dispergovana.**

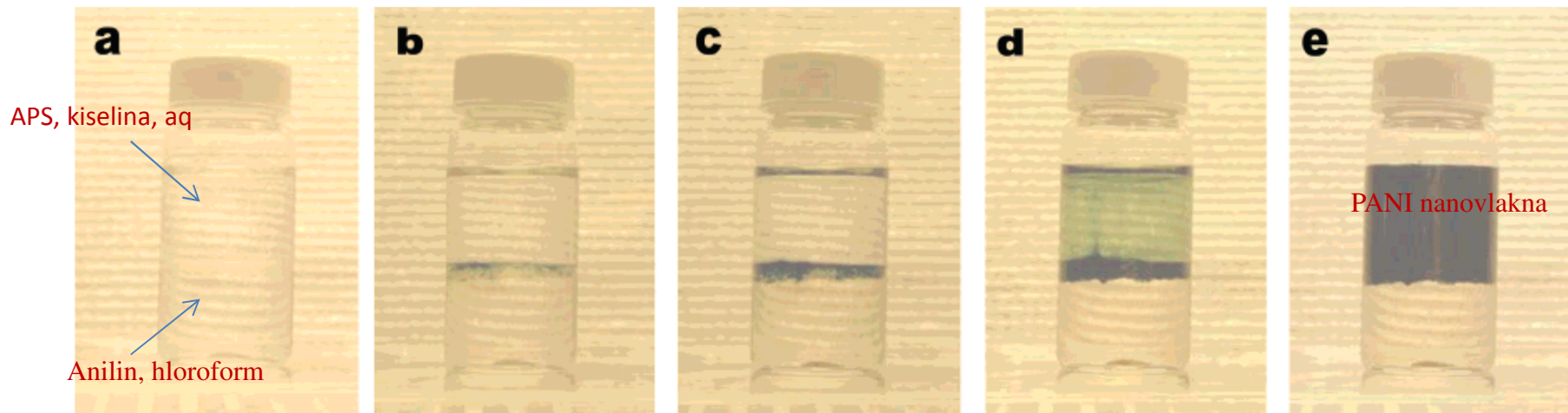


SEM images of PANI synthesized by reacting aniline in 1.0 M HCl with APS in 1.0 M HCl at 25 °C. (A) The APS solution was added dropwise into the stirred aniline solution (B) The APS solution was added dropwise into the aniline solution without stirring. [ Li<sup>17</sup> D.; Kaner, R. B. J. Am. Chem. Soc. 2006, 128, 968].

## Polimerizacija na granici vodene i organske faze

Za razliku od klasične homogene polimerizacije anilina, polimerizacija se vrši u organska faza (ugljen tetrahlorid, benzen, toluen)/ vodena faza dvofaznom nemešljivom sistemu, da bi se sporedni proizvodi (neorganske soli, oligomeri) razdvojili prema njihovoj rastvorljivosti u organskoj i vodenoj fazi. PANI nanovlakna imaju dužine 500 nm do nekoliko mikrometara, prosečni prečnik 30-120 nm.

Nizak prinos sinteze (6-10 mas. %).



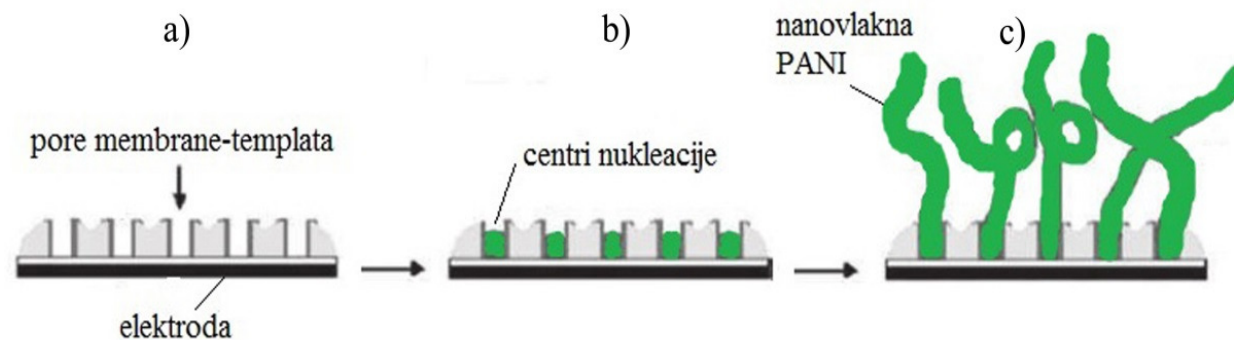
Snapshots showing interfacial polymerization of aniline in a water/chloroform system. From a to e, the reaction times are 0, 1.5, 2.5, 4, and 10 min, respectively. The top layer is an aqueous solution of 1.0 M perchloric acid and APS; the bottom layer is aniline dissolved in chloroform [Huang, J.; Kaner, R. B. J Am Chem Soc 2004, 126, 851].

### 3. Elektrohemija oksidativna polimerizacija

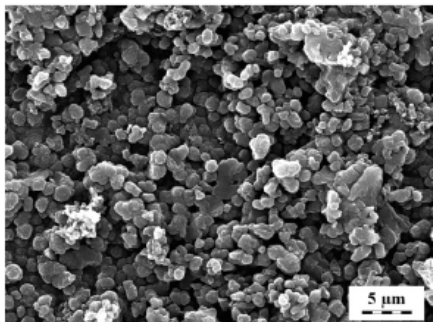
Electrosinteza omogućava takođe dobijanje PANI nanovlakana ( i drugih nanostruktura). Rezultujuća vlakna su obično orijentisana na elektrodnoj površini.

#### Elektrohemijske metode sa templatom

Primer formiranja *nanovlakana* elektroprovodnog polimera polianilina (PANI) elektrohemijskom sintezom na elektrodi prikazan je na slici ispod. Elektroda na koju je prethodno nanešen porozni templat se uranja u rastvor monomera anilina (slika a). Posle primene anodnog potencijala počinje oksidacija anilina i stvaranje prvih nukleacionih centara iz kojih počinje polimerizacija u porama templata (slika b). Rast polimera se zatim nastavlja i van pora i obrazuju se nanovlakna PANI ( c ).



Formiranje nanovlakana PANI elektrohemijskom metodom sa poroznim templatom.



Granularni PANI

Neke **prednosti PANI nanovlakana** u odnosu na standardni-granularni PANI:

- **poboljšana disperzivnost** PANI nanovlakana u vodi i drugim rastvaračima u odnosu na nefibrilarni, granularni PANI
- **povećana kapacitansa** (primene za superkondenzatore): npr. specifična kapacitansa iznosi 122 F/g za PANI (emeraldin hidrohlorid) nanovlakna dobijena metodom semena, u odnosu na 33 F/g za nefibrilarni PANI (emeraldin hidrohlorid) [J. Am. Chem. Soc. 2004, 126, 4502];  
za superkapacitor od kompozita PANI nanovlakana i ugljeničnih nanotuba dobijena je specifična kapacitansa ~600 F/g koja je bila stabilna pri cikliranju [J. Power Sources 171 (2007) 1062.] - nanoporozni kompozit velike površine omogućava lak pristup elektrolitu.
- poboljšana antioksidativna svojstva** (posledica povećane površine)
- kraće vreme odgovora i veća osjetljivost filma od PANI nanovlakana u senzorima** u odnosu na film od granularnog PANI (zbog veće efektivne površine i porozne strukture koja omogućava molekulima koji se detektuju da brže difunduju).

# Metode za dobijanje PANI nanotuba

## 1. Metode sa templatom

### 1.1. Tvrdi templati:

-hemijska i elektrohemija oksidativna polimerizacija

#### 1.1.1. Nanoporzni tvrdi templati:

**polikarbonatna nanoporzna membrana** (membrana može da razdvaja rastvor monomera anilina od rastvora oksidacionog sredstva, reakcija polimerizacije odigrava se u porama membrane; [Synth Met 1993, 55, 1165; Delvaux, M. et al., Synth Met 2000, 113, 275 ])

**nanoporzni anodni aluminijum oksid (AAO)** (Synth Met 2005, 152, 65.) (membrana se najpre uranja u rastvor anilina i HCl, zatim se dodaje rastvor APS, na kraju polimerizacije membrana sa PANI se izvlači iz reakcionog suda i ispira. AAO se uklanja rastvaranjem sa 6M NaOH. U elektrohemiskom metodu AAO membrana se stavlja pomoću srebrne paste na Pt elektrodu. Vrši se elektroliza rastvora anilina u HCl (na 0,7 V vs. Ag/AgCl).

#### 1.1.2. Nanostrukturni tvrdi templati

-sulfonovane višeslojne ugljenične nanotube (MWNT), MWNT-(OSO<sub>3</sub>H)<sub>n</sub>  
-templati na bazi MnO<sub>2</sub>, templat takođe ima i ulogu oksidacionog sredstva

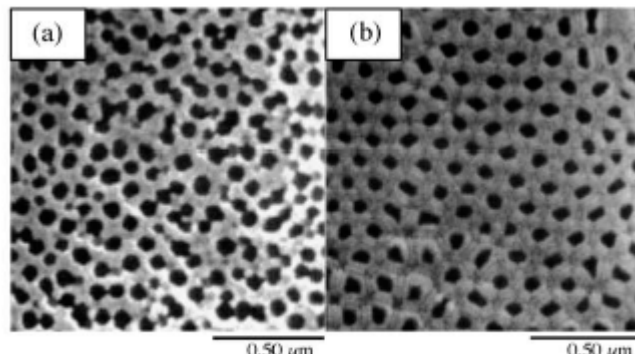


Figure 3. SEM photographs of self-made alumina membrane, (a) side in contact with solution, (b) side in contact with electrode.

Yang, S. M. et al. Synth Met 2005, 152, 65.)

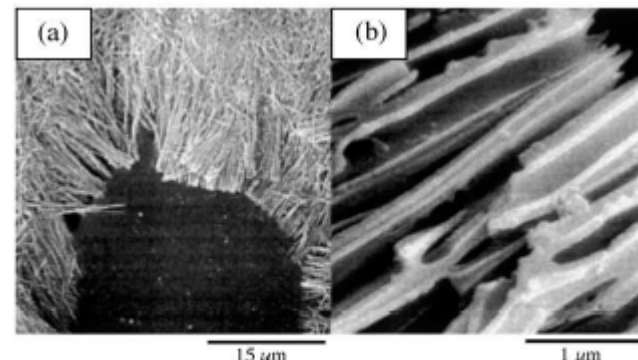


Figure 1. SEM photographs of polyaniline formed in 200 nm anodic alumina membrane by chemical method.

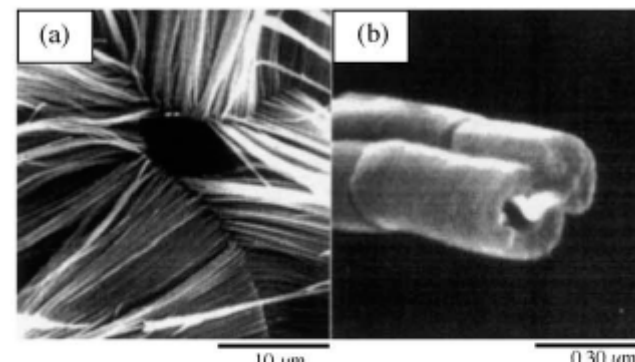


Figure 2. SEM photographs of polyaniline formed in 200 nm anodic alumina membrane by electrochemical method.

Yang, S. M. Synth Met 2005, 152, 65. ^

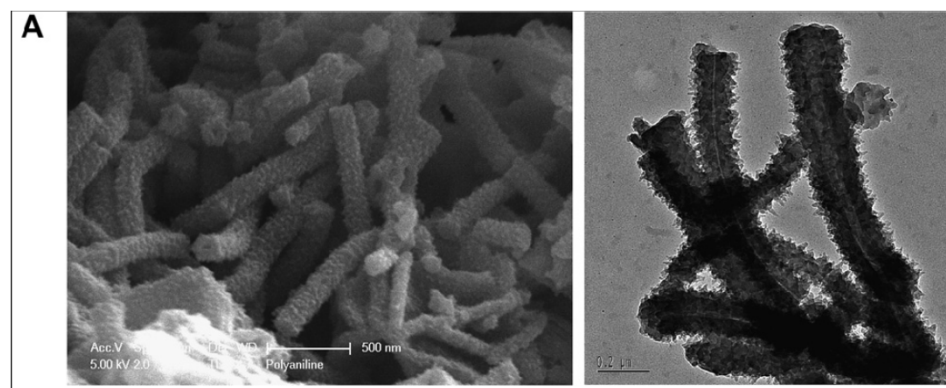
## PANI nanotube

### 1.2. Meki templati

#### -hemijkska oksidativna polimerizacija

- **surfaktanti i amfifilne kiseline kao meki templati**: natrijum dodecilsulfat, natrijum dodecilbenzensulfonat,, **polimerne kiseline** [ poly(methyl vinyl ether-alt-maleic acid), poly(3-thiopheneacetic acid), poly(4-styrenesulfonic acid), poly(acrylic acid)], i **amfifilne kiseline**:  $\beta$ -naftalensulfonska,  $\alpha$ -naftalensulfonska kiselina, 1,5-naftalendisulfonska kiselina, azobenzensulfonska kiselina, kamforsulfonska kiselina, 2-akrilamido-2-metil-1-propansulfonska kiselina, salicilna kiselina, stearinska kiselina, sirčetna kiselina, dikarboksilne kiseline, amino kiseline...

-pretpostavljeno je da *cilindrične micle* soli anilina i amfifilnih kiselina diktiraju rast PANI nanotuba.  
Langmuir, 2002, 18, 917.



SEM (levo) i TEM (desno) slike PANI-nanotuba dobijenih iz rastvora koji sadrži poli(4-styrenesulfonsku kiselinu)  
J. Curr Appl Phys 2008, 8, 312

## PANI nanotube

### 2. Metode bez templata

#### 2.1. *Metod opadajućeg pH (Falling pH method)*

PANI-NT se sintetišu oksidativnom polimerizacijom anilina sa APS u vodenom rastvoru, polazeći od pH > 4.0 i završavajući sa pH < 2.0, u prisustvu neorganskih kiselina .

*Model micela:* u odsustvu surfaktanta ili amfifilnih kiselina, miclele formirane od anilinijum katjona i neorganskih ili hidrofilnih organskih anjona prepostavljene su od strane Wan i saradnika kao meki templati [ Macromolecules 2002, 35, 5937.]

*Model oligomera:* suprotno modelu micela, prepostavlja se da samoorganizacija oligomera anilina diktira rast PANI NT pri sintezi metodom opadajućeg pH [Polym Int 2006, 55, 31; Nanotechnology 2008, 19, 135606].

#### 2.2. *Metod bez dopanta i bez templata (Dopant-free template-free)*

PANI-NTs se dobijaju oksidativnom polimerizacijom anilina sa APS u vodi bez dodatka kiseline. Metod je jednostavan jer smanjuje broj korišćenih reagenasa [ J Phys Chem B 2006, 110, 9461. ]

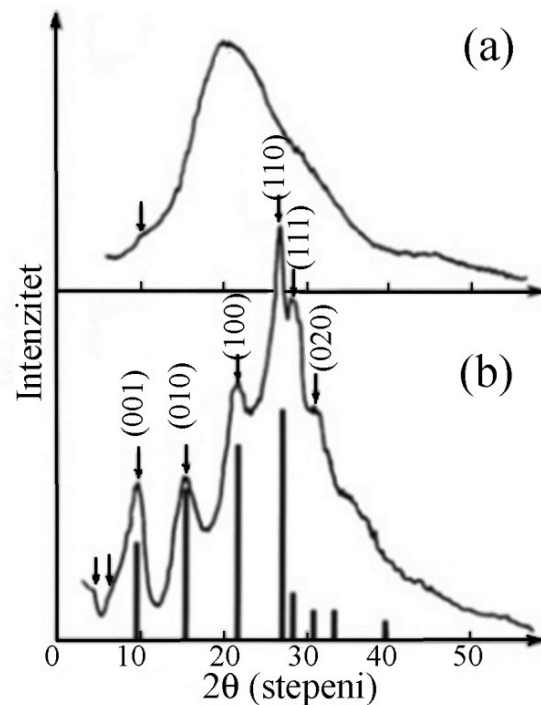
#### 2.3. *Polimerizacija na granici faza*

-rastvor anilina u toluenu / rastvor APS u vodenom rastvoru sirćetne kiseline [React Funct Polym 2007, 67, 476].

Pored pomenutih, vema važne fizičkohemijske metode u karakterizaciji polimera su:

- FTIR i ramanska spektroskopija, NMR (molekulska struktura)
- Metode za određivanje molarnih masa (npr. gel-propusna hromatografija, rasejanje svetlosti)
- XRD (difrakcija X zraka - određivanje stepena kristaliničnosti polimera)
- Elektrohemijske metode (ciklovoltametrija-ispitivanje redoks aktivnosti polimera)
- Atomic force microscopy (AFM, mikroskopija atomskih sila)
- ...

**Metoda difrakcije X zračenja** se uobičajeno koristi za **određivanje stepena kristaliničnosti polimera**. *Stepen kristaliničnosti ( $W_k$ )* polimera se definiše kao udeo kristalne materije u delimično kristalnom (semikristalnom) polimeru. Potpuno amorfne supstancije daju veoma široki maksimum, tzv. *amorfni halo*, u difraktogramu, dok potpuno kristalne supstancije daju oštре (Bragg-ove) pikove sa horizontalnom baznom linijom. Primer difraktograma skoro potpuno amorfног облика PANI prikazan je na slici a). U slučaju semikristalnog polimera, na amorfni halo nadovezuju se (superponiraju) oštре pikovi koji potiču od kristalnih regiona, slika b).

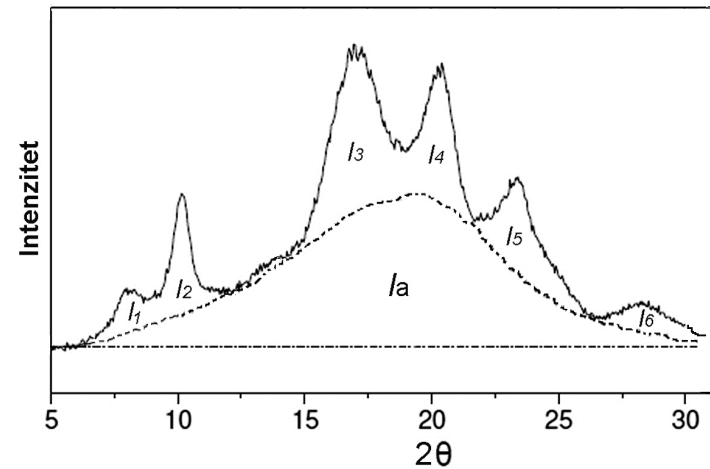
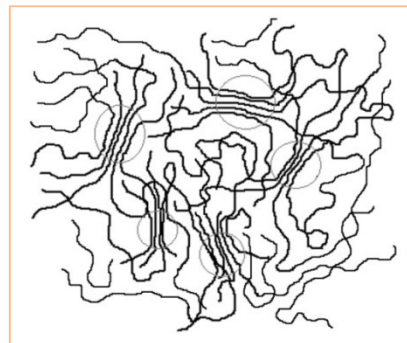


Difraktogrami X-zraka a) amorfног i b) semikristalnog polianilina. Kistalografske ravni su obeleženi na slici b) Milerovim indeksima  $hkl$ : (001), (010), (100), (110), (111), (020). Slika preuzeta i adaptirana sa dozvolom iz J. P. Pouget et al., *Macromolecules* 24 (1991) 779.

Stepen kristaliničnosti  $W_k$  polimera izračunava se deljenjem površine pikova koji potiču od kristalne faze,  $I_k$  (integriranog intenziteta iznad amorfног haloa, tj. intenziteta svetlosti rasejane na kristalnom delu polimera), sa ukupnim intenzitetom rasejane svetlosti (tj. sa ukupnom površinom ispod krive difraktograma)  $I_{tot}$ , prema jednačini:

$$W_k (\%) = \frac{I_k}{I_{tot}} \times 100 \%$$

$$W_k (\%) = \frac{I_{tot} - I_a}{I_{tot}} \times 100 \%$$



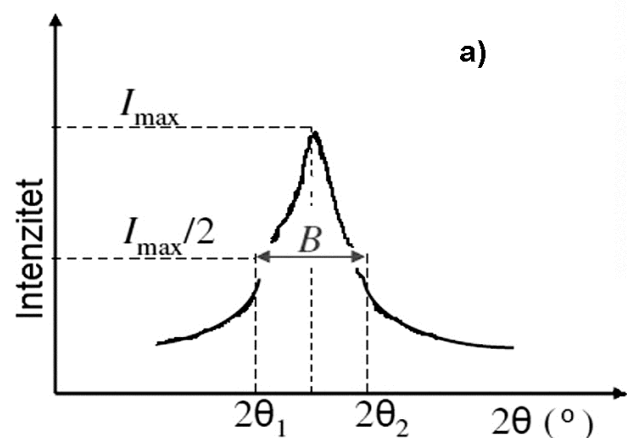
Određivanje stepena kristaliničnosti polimera na osnovu difraktograma:  $I_k$  je zbir površina šest oštredih pikova kristalne faze,  $I_k = I_1 + I_2 + I_3 + I_4 + I_5 + I_6$ , dok je  $I_a$  površina dela difraktograma ispod isprekidane linije koja odgovara amorfnoj fazi. Bazna linija obeležena je sa  $-•-•-$ .

Veličina kristalita  $L_{hkl}$  u polimeru određuje se Scherrer-ovom formulom:

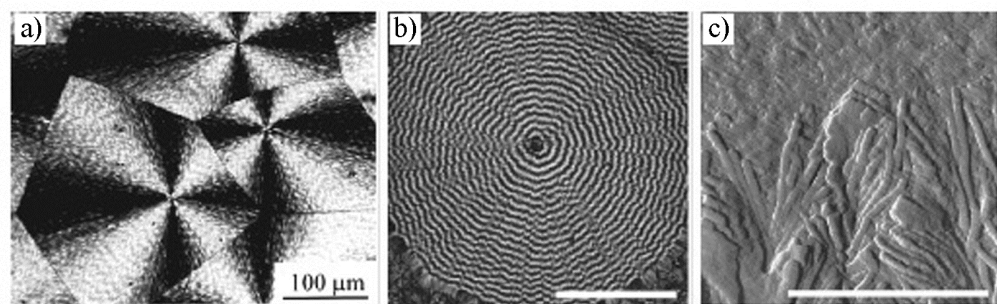
$$L_{hkl} = \frac{K \lambda}{\beta \cos \theta}$$

gde je  $L_{hkl}$  dimenzija kristalita (u angstremima) duž pravca normalnog na kristalografsku ravan  $hkl$ ,  $\beta$  je tzv. polu-širina pika (tj. širina pika na polovini visine pika, slika ispod) koja se odnosi na kristalografsku ravan  $hkl$ ,  $K$  je konstanta (obično iznosi 0,89),  $\theta$  je difrakcioni ugao za  $hkl$  ravan, a  $\lambda$  je korišćena talasna dužina X zračenja (vrlo često je to  $\lambda_{\text{CuK}\alpha} = 1,5418 \times 10^{-10} \text{ m}$ ).

**Polu-širina pika  $\beta$**  je posledica širenja pika usled dimenzija kristalita i određuje se tako što se od poluširine pika  $B$  sa difraktograma (slika 8.13. a) oduzima širenje pika  $b$  usled instrumentalnih efekata,  $\beta = B - b$ . Manja polu-širina pika odgovara većim kristalitim i obrnuto.



Određivanje polu-širine pika  $B$  (tj. širine pika na polovini visine pika  $I_{\max}/2$ ),  $B = 2\theta_2 - 2\theta_1$



Slike a) **sferulita** poli(trimetilen tereftalata) iskristalisanog iz rastopa na temperaturi kristalizacije od 205 °C (uzorak sa slike 39 b) i b) prstenastih sferulita poli(viniliden fluorida) dobijene optičkim mikroskopom sa polarizovanom svetlošću. Na slici c) prikazana je **AFM** slika fronta rasta sferulita polibutena. Slike su preuzete sa dozvolom iz a) *Macromolecules* 33 (2000) 7529, b) i c) iz *Polymer* 49 (2008) 1685.